

УДК 532.529

МАТЕМАТИЧНА МОДЕЛЬ СЕДИМЕНТАЦІЙНО-ВІБРАЦІЙНОЇ РІВНОВАГИ АРМІТОРІВ КОМПОЗИЦІЙНОГО ЗУБКА ШАРОШКОВОГО ДОЛОТА

© Бугай Ю. М., Пітулей Л. Д., 2000

Міжнародний науково-технічний університет, м. Київ

© Феденчук Д. І., 2000

Івано-Франківський державний технічний університет нафти і газу

Побудована математична модель седиментаційно-вібраційної рівноваги армованого об'єму композиційного зубка шарошки бурового долота. Отримані технологічні параметри вібраційного армування, які забезпечують стабілізацію положення твердих частинок зміцнюючої фази в розплаві матриці. Проаналізовано вплив частоти вібрації на положення седиментаційної стійкості твердих частинок в розплаві хромонікелевої сталі.

Седиментація частинок дисперсної фази під дією сили тяжіння приводить до концентрування частинок в нижній частині ливарної форми, тому неможливо отримати однорідну структуру в дисперсній системі на початковій стадії технологічного процесу армування розплаву.

Як показали дослідження [1...4], з допомогою механічних коливань можливо забезпечити седиментаційно-вібраційну рівновагу твердих частинок [1, 2] і газових пухирців [3, 4] – першу основну умову забезпечення однорідності дисперсної системи.

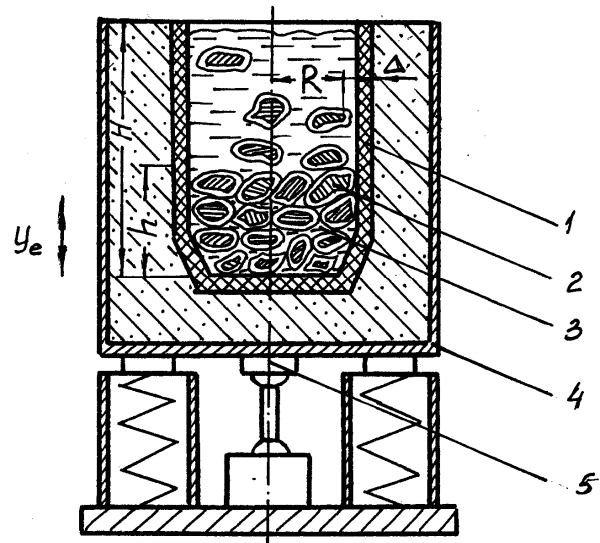
Однак слід відмітити, що робіт по теоретичному дослідженню седиментаційно-вібраційної рівноваги арматурів в розплаві матриці зубків шарошки бурового долота немає. Тому теоретичне та експериментальне дослідження седиментаційно-вібраційної рівноваги арматурів в розплаві матриці є одним з основних актуальних питань створення композиційних матеріалів.

До накладання пружних коливань на розплав арматури в зоні двохфазного стану застигаючого розплаву матриці знаходяться в хаотичному стані, рухаючись до дна ливарної форми під дією сили тяжіння. Щоб керувати цим хаотичним накопиченням арматурів, визначити технологічні параметри седиментаційно-вібраційної рівноваги, необхідно побудувати математичну модель армованого розплаву, розв'язати її і проаналізувати отримані результати.

Аналогічно роботі [3] вводимо поруч з несучим суцільним “середовищем” – розплавом матриці – неперервне середовище твердих частинок, які переносяться розплавом.

Для дослідження седиментаційно-вібраційної рівноваги “середовища” твердих частинок у коли-

ному стовпі розплаву матриці запропонована, як і в роботі [2], проста одномірна модель “середовища” арматурів (рис. 1).



1 – оболонкова форма; 2 – тугоплавкі арматури; 3 – сплав – зв'язка – матриця; 4 – опока; 5 – вібратор
Рис. 1. Схема віброармування розплаву композиційного зубка шарошки бурового долота.

Розглянемо циліндричну ливарну форму, заповнену розплавом матриці, яка здійснює коливання у вертикальному напрямку (рис. 1).

Згідно розробленої авторами технології вібраційного армування зубків шарошки бурового долота в нижній частині ливарної форми повинно знаходитись накопичення твердих частинок, які повинні рівномірно розміщуватись в зоні армування зубка. Для виконання цієї умови необхідно в першу чергу

забезпечити седиментаційно-вібраційну рівновагу арміторів зубка.

Згідно роботи [2] допустимо, що накопичення арміторів в розплаві матриці має форму циліндра з плоскими торцями. Припустимо, що між стінками ливарної форми і умовного циліндричною поверхнею накопичення твердих частинок існує мала щілина, через яку може проникати розплав матриці.

Положення армованого об'єму по відношенню до ливарної форми визначається відносною y_r та переносною y_e координатами.

Рівняння Лагранжа другого роду по відносній координаті приймає такий вигляд:

$$\frac{d}{dt} \cdot \frac{\partial T}{\partial \dot{y}_r} - \frac{\partial T}{\partial y_r} = Q_{y_r}, \quad (1)$$

де T - кінетична енергія системи, яка розглядається; \dot{y}_r - відносна швидкість армованого розплаву матриці; Q_{y_r} - узагальнена сила, яка відповідає узагальненій координаті y_r .

Кінетична енергія даної системи визначається так:

$$T = T_1 + T_2 + T_3 + T_4, \quad (2)$$

де T_1 - кінетична енергія розплаву матриці під армованим об'ємом і над щілиною; T_2 - кінетична енергія розплаву матриці над армованим об'ємом; T_3 - кінетична енергія розплаву матриці, перетікаючого через щілину; T_4 - кінетична енергія армованого об'єму.

Знаходимо відповідні кінетичні енергії [5]:

$$T_1 = \frac{\rho_1}{2} [\pi R^2 y_r + S(H - y_r - h)] \dot{y}_e^2;$$

$$T_2 = \frac{\rho_1}{2} (\pi R^2 y_r + S) \cdot (H - y_r - h) (\dot{y}_r + \dot{y}_e)^2;$$

$$T_3 = \frac{\rho_1}{2} h S (\dot{y}_e + U)^2; \quad (3)$$

$$T_4 = \frac{\rho_a h}{2} \pi R^2 \cdot (\dot{y}_r + \dot{y}_e)^2,$$

де ρ_1 - густина хромо-нікелевої сталі, R - радіус армованого об'єму, ρ_a - густина армованого розплаву, S - площа щілини, H - висота зубка, h - висота армованого об'єму, \dot{y}_e - переносна швидкість армованого об'єму, U - швидкість перетікання розплаву через щілину.

Залежність між швидкостями U і \dot{y}_r має такий вид [3]:

$$U = \frac{\pi R^2}{S} \dot{y}_r. \quad (4)$$

Підставивши рівняння (3) і (4) в рівняння (2), отримуємо такий вираз для кінетичної енергії досліджуваної системи:

$$T = \frac{\rho_1}{2} \cdot \{ [\pi R^2 \cdot y_r + S(H - y_r - h)] \dot{y}_e^2 + (\pi R^2 - S)(H - y_r - h)(\dot{y}_r + \dot{y}_e) + hS(\dot{y}_e - \frac{\pi R^2}{S} \dot{y}_r)^2 \} + \frac{\rho_a}{2} h \cdot \pi R^2 \cdot (\dot{y}_r + \dot{y}_e)^2. \quad (5)$$

Розписавши рівняння Лагранжа другого роду з врахуванням виразу кінетичної енергії досліджуваної системи (5) і визначивши узагальнену силу Q_{y_r} , отримуємо, що:

$$\ddot{y}_r + 2n\dot{y}_r - \dot{y}_r^2/2 + \omega_0^2 y_r = \frac{g}{H^*} \left[\frac{P_a}{g\rho_1} + h(k - \varphi) + H \right] - \ddot{y}_e - \frac{NF_b}{m + m_{np}}, \quad (6)$$

де [4...6] $2n = \omega_0^2 \tau_v$; $\omega_0 = \frac{\pi c_0}{2h}$; $c_0^2 = \frac{P_a}{\rho_a \varepsilon_0}$;

$$\tau_v = \frac{\rho_a}{\beta};$$

$$H^* = H - y_r + hk + \frac{hR}{2\Delta}; \quad \beta = \frac{37,5(1 - \varepsilon)^2}{\varepsilon^3 r_a};$$

$$F_b = g(m - V_a \rho_1) \frac{kA^2 \omega^2}{|k|K^2 |y_r| y_r^3}; \quad (7)$$

$$m_{np} = \frac{1}{2} V_a \rho_1 (1 + \frac{3r_a^3}{8|y_r|^3}); \quad K = \frac{2\sqrt{2g}(2k+3)}{3\sqrt{|k|r_a^3}};$$

$k = \rho - 1$; n - коефіцієнт затухання; ω_0 - частота власних коливань всієї системи; τ_v - час релаксації швидкості фаз; c_0 - швидкість звуку в армованому розплаві без врахування дії вібрації; P_a - атмосферний тиск; ε_0 - порозність армованого об'єму при седиментаційно-вібраційній рівновазі арміторів; φ - об'ємна концентрація арміторів в розплаві сталі; g - прискорення земного тяжіння; N - число арміторів; Δ - ширина щілини; β - коефіцієнт гідравлічного опору; F_b - вібраційна сила, яка діє на один армітор; m і m_{np} - відповідно маса і коефіцієнт приєднаних мас твердої частинки; V_a і r_a - відповідно об'єм і радіус армітору.

Для аналізу рівняння (6) відносно координату y_r представимо в такому виді:

$$y_r = y_{rc} + y_{rk}, \quad (8)$$

де y_{rc} - відносна координата, яка визначає стабілізоване положення армованого об'єму, в якому сила атмосферного тиску і вага розплаву зрівноважуються Архімедовою і вібраційною силою, обумовленою коливанням розплаву; y_{rk} - відносна координата вимушених коливань армованого об'єму.

Тоді рівняння (6) буде таким:

$$\ddot{y}_{rc} + \ddot{y}_{rk} + 2n(\dot{y}_{rc} + \dot{y}_{rk}) + \omega_0^2(y_{rc} + y_{rk}) + \frac{(\dot{y}_{rc} + \dot{y}_{rk})^2}{2} = \frac{g}{H^*} \left[\frac{P_a}{g\rho_1} + h(k - \varphi) + H \right] - \ddot{y}_e - \frac{NF_b}{m + m_{np}}. \quad (9)$$

Прирівнявши в рівнянні (9) всі активні сили до нуля і виразивши вібраційну силу F_b згідно рівняння (7), визначимо частоту стабілізації армованого об'єму

$$\omega^2 = \frac{|k| \cdot K^2 \cdot |y_r| \cdot y_r^3}{kA^2 H^* g(-V_a \rho_1 + m)} \cdot \left[\frac{P_a}{g\rho_1} + h(k - \varphi) + H \right]. \quad (10)$$

Згідно рівняння (10) частота стабілізації положення армованого об'єму залежить від густини арматур ρ_2 і розплаву сталі ρ_1 , радіуса твердої частинки r_a , від їх положення відносно ливарної форми, яке визначається координатою y_r , амплітуди коливання A , конструктивних розмірів зубка (H, h, S, R), атмосферного тиску і об'ємної концентрації арматур φ .

Регулюючи частоту і амплітуду коливання розплаву сталі можна досягнути седиментаційної рівноваги армованого розплаву арматурами любых розмірів і в любому їх положенні.

При стабілізації положення армованого об'єму рівняння його вимушених коливань відносно цього положення має вид:

$$\ddot{y}_{rk} + 2n\dot{y}_{rk} - \frac{\dot{y}_{rk}^2}{2} + \omega_0^2 y_{rk} = A\omega^2 \sin \omega t. \quad (11)$$

Загальний розв'язок даного рівняння залежить від співвідношення n , ω_0 і ω .

При $n < \omega_0$ загальний нерезонансний розв'язок рівняння (11) запишеться так:

$$y_{rk} = e^{-nt} (C_1 \sin \sqrt{\omega_0^2 - n^2} t + C_2 \cos \sqrt{\omega_0^2 - n^2} t) + \frac{A\omega^2}{\sqrt{(\omega_0^2 - \omega^2)^2 + 4n^2\omega^2}} \sin(\omega t + \alpha),$$

де C_1 і C_2 – постійні інтегрування, які визначаються з початкових умов; α – початкова фаза.

Графіки вимушених коливань для різних параметрів процесу представлені на рис. 2, 3.

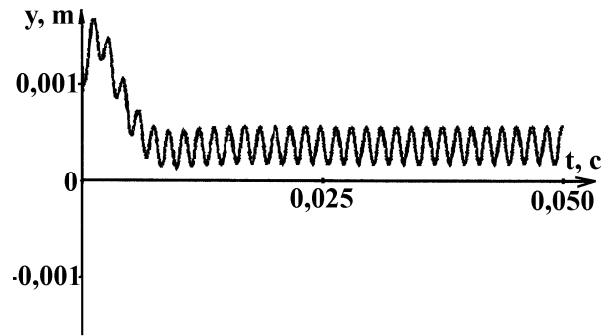


Рис. 2. Графік перехідного процесу армованого об'єму при частоті вібрації $\omega = 3996 \text{ с}^{-1}$.

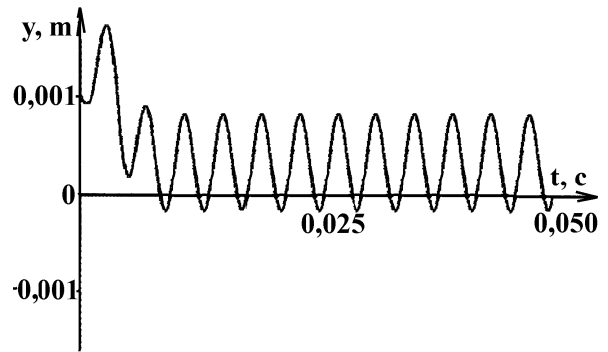


Рис. 3. Графік перехідного процесу армованого об'єму при частоті вібрації $\omega = 1598 \text{ с}^{-1}$.

Розв'язок рівняння вимушених коливань дозволяє визначити час перехідного процесу, знайти амплітуду вимушених коливань, яка повинна бути меншою від половини віддалі між арматурами, щоб уникнути зіткнення між ними ($A_{взм} < h_1 / 2$).

1. Ганиев Р. Ф., Украинский Л. Е. Динамика частиц при воздействии вибрации. – К.: Наукова думка, 1975. – 167 с.
2. Колебательные явления в многофазных средах и их использование в технологии. / Под. ред. Р. Ф. Ганиева. – К.: Техніка, 1980. – 140 с.
3. Кубенко В. Д., Кузьма В. М., Пучка Г. Н. Динамика сферических тел в жидкости при вибрации. – К.: Наукова думка, 1989. – 156 с.
4. Луговцев Б. А., Сеицкий В. Л. О движении тела в вибрирующей жидкости. Доп. АН СССР. – 1986. – Т. 289. – № 2. – С. 314-317.
5. Яблонский А. А. Курс теоретической механики. Часть 2. Динамика. – М.: Высшая школа, 1984. – 422 с.
6. Рыжков А. Ф., Путрик Б. А. Распространение колебаний во взвешенном зернистом слое // Инженерно-физический журнал. – Т. 54. – № 2. – С. 188-197.